

平面 $B_n Be$ ($n=1 \sim 7$) 团簇的结构和稳定性理论研究

崔文文, 王成, 王小亮, 朱小蕾

(南京工业大学化学化工学院, 材料化学工程国家重点实验室, 江苏南京 210009)

[摘要] 运用密度泛函理论(DFT)对平面 $B_n Be$ ($n=1 \sim 7$) 的结构、稳定性及势能面进行了计算。通过计算得到了 $B_n Be$ ($n=1 \sim 7$) 团簇的最稳定结构。值得注意的是, $B_n Be$ ($n=1 \sim 7$) 团簇的结构模式转变发生在 $n=1$ 到 $n=2$ 之间。平均原子成键能(BE)、成键能增量(IBE)、能量二次差分($\Delta^2 E$)和能隙(ΔE)的变化图揭示了 $B_4 Be$ 和 $B_7 Be$ 具有较高的稳定性。结果表明, $B_n Be$ ($n=1 \sim 7$) 团簇的稳定性与离域 π 分子轨道、 σ 正切分子轨道和 σ 径向分子轨道的相互作用有关。价分子轨道和核独立化学位移(NICS)的分析证明异构体 $B_n Be$ ($n=2 \sim 5$) 都具有 π -芳香性。理论分析表明, $B_4 Be$ 具有 σ -和 π -双芳香性。有趣的是, 在 CCSD(T)/6-311+G(d)//B3LYP/6-311+G(d) 水平上, $B_4 Be$ 是热力学上和动力学上稳定的, 可能在将来的实验中观察到。

[关键词] 硼铍团簇, 几何结构, 稳定性, 密度泛函

[中图分类号] O613.71 [文献标志码] A [文章编号] 1001-4616(2013)03-0061-06

A Theoretical Study on Structure and Stability of Planar $B_n Be$ ($n=1 \sim 7$)

Cui Wenwen, Wang Cheng, Wang Xiaoliang, Zhu Xiaolei

(State Key Laboratory of Materials-Oriented Chemical Engineering, College of Chemistry and Chemical Engineering,
Nanjing University of Technology, Nanjing 210009, China)

Abstract: The structures, stabilities, bonding nature, and potential energy surfaces of $B_n Be$ ($n=1 \sim 7$) are systematically explored and investigated based on density functional theory (DFT). The lowest-energy structures for $B_n Be$ ($n=1 \sim 7$) are located. It is worthy to note that a structural transition occurs from $n=1$ to $n=2$ for $B_n Be$ ($n=1 \sim 7$). The evolution of the binding energy per atom, incremental binding energy, second order difference of total energy, and energy gap with the size of $B_n Be$ reveals that the lowest-energy isomers $B_4 Be$ and $B_7 Be$ are highly stable. The results demonstrate that the stability of lowest-energy isomers of $B_n Be$ ($n=1 \sim 7$) is attributed to the delocalized π , σ -radial, and σ -tangential molecular orbitals (MOs) interactions. $B_n Be$ ($n=2 \sim 5$) exhibit π aromaticity from valence molecular orbital analysis and nucleus independent chemical shifts (NICSs) values. $B_4 Be$ exhibit σ - and π -double aromaticity in terms of theoretical analyses. Interestingly, $B_4 Be$ is stable both thermodynamically and kinetically, which may be observable in future experiment.

Key words: Beryllium boride cluster, geometry, stability, DFT

团簇分子表现出一些独特的物理和化学性质, 这为我们检验和揭示由原子或分子向大块体系的转化提供了依据。第Ⅲ~Ⅴ主族的半导体能够被用作超微电子器件和发光二极管的研制, 掺杂Ⅲ~Ⅴ主族中的元素以及其他半导体团簇已经成为实验和理论研究的热点^[1,2]。

近年来有关铍硼化物的理论和实验研究越来越多。在实验上, Sands 等人对得到的晶体利用粉末衍射方法得到了组成为 $Be_2 B$ 、 $B_2 Be$ 和 BeB_6 的化合物^[3]。Imanishi 等人利用仪器对铍硼化物进行检测并且对混合物组成进行了测定^[4]。运用不同的计算方法得到了 BeB 团簇的能量最低电子态的分子性质^[5]。运用理论计算方法, Güner 等人报道了 $B_2 Be_2$ 的结构和电子特征^[6]。通过对限制 $B_n X$ ($n=1, 5, 12$; $X=Be, B, C$) 的结构进行的理论计算发现, 纯 B_n 团簇掺杂杂原子(如 Be 或 C)后的稳定性与团簇的大小有关^[7]。运用从头算自洽场理论和密度泛函理论对 BeB_6 团簇进行计算, 结果发现 BeB_6 团簇的结构为 C_{6v} 对称性的三角锥

收稿日期: 2013-01-08。

基金项目: 国家自然科学基金(21276122, 21136001, 20876073)。

通讯联系人: 朱小蕾, 教授, 博士生导师, 研究方向: 分子模拟。E-mail: xlzhu@njut.edu.cn

形结构,并且分析发现 BeB_6 具有多重芳香性^[8]. Li 等人对 MB_5^+ ($\text{M}=\text{Be}, \text{Mg}, \text{Ca}$ 和 Sr) 的基态结构、电子结构以及振动频率利用从头算和密度泛函理论进行了探究,离子团簇中的 B_5^- 部分具有 π -芳香性,并且其在 MB_5^+ 中保持原有结构和电子完整性^[9]. 在密度泛函理论下的计算结果显示具有 D_{8h} 对称性的 BeB_8^{2-} 结构是稳定的基态结构,这个结构中 Be 位于 B_8 环的中心^[10]. Laksari 等人运用 FP-LAPW 等方法对 BeB_2 的结构、电子和成键特点进行了研究^[11].

尽管铍硼团簇的研究已经有大量的报道,但是目前对铍硼团簇的动力学稳定性研究很少,这些研究对于将来的实验研究是很有帮助的.

1 计算方法

所有的计算由 Gaussian 09^[12] 软件完成. 两个不同自旋多重度的 B_nBe ($n=1 \sim 7$) 团簇 (B_2Be 、 B_4Be 和 B_6Be 的单重态和三重态, BBe 、 B_3Be 、 B_5Be 和 B_7Be 的二重态和四重态) 所有可能的初始平面结构是在 B3LYP^[13]/6-311+G(d) 水平上优化的. 为了验证优化得到的 B_nBe ($n=1 \sim 7$) 结构是否稳定,其振动频率也在 B3LYP/6-311+G(d)^[13] 水平上进行了计算. 为了得到 B_nBe 团簇的势能面(PES),能量较低的异构体的过渡态也在 B3LYP/6-311+G(d) 水平上进行了计算. 更进一步的,为了确定所得到的过渡态是否与相关的异构体相连,内禀反应坐标(IRC)的计算是在 B3LYP/6-311+G(d) 水平上实现的. 另外,在 CCSD(T)/6-311+G(d)^[14] 水平上进行了结构与过渡态的能量校正.

2 结果讨论

图1和图2为 B_nBe ($n=1 \sim 7$) 较低能量异构体和 B_4Be 团簇的过渡态的结构图,限于文章篇幅,在此只给出了各个团簇前5个异构体. 为了简便起见,阿拉伯数字代表所含硼原子数,英文字母顺序表示在 CCSD(T)/6-311+G(d)//B3LYP/6-311+G(d) 水平上异构体能量由低到高的次序. B_nBe ($n=1 \sim 7$) 的异构体在不同水平下的相对能量分别列在表1中.

表1 B_nBe ($n=1 \sim 7$) 较低能量异构体在不同水平下的相对能量(kcal/mol)

Table 1 The relative energy of lower-energy isomers for B_nBe ($n=1 \sim 7$) at different levels of theory (kcal/mol)

异构体	ΔE^{I}	ΔE^{II}									
1a	0.0	0.0	3i	75.0	70.1	5c	14.1	6.7	6g	23.0	21.9
1b	6.1	14.1	3j	69.4	71.1	5d	19.5	11.4	6h	25.3	22.7
2a	0.0	0.0	4a	0.0	0.0	5e	23.3	12.5	6i	20.6	25.0
2b	-4.2	6.7	4b	17.5	22.9	5f	46.5	26.0	6j	68.2	34.4
2c	6.0	15.8	4c	26.4	23.3	5g	34.6	28.6	7a	0.0	0.0
2d	49.4	59.8	4d	26.9	30.4	5h	35.2	29.1	7b	19.3	20.8
3a	0.0	0.0	4e	26.8	32.4	5i	38.6	32.3	7c	19.7	22.0
3b	10.8	8.6	4f	29.4	32.8	5j	38.8	32.6	7d	21.4	22.2
3c	13.8	17.3	4g	48.2	47.6	6a	0.0	0.0	7e	28.6	28.4
3d	21.3	26.5	4h	53.6	51.0	6b	5.9	1.1	7f	31.5	31.5
3e	27.1	29.2	4i	57.1	51.7	6c	3.4	2.1	7g	34.3	33.9
3f	43.3	47.4	4j	51.6	57.0	6d	8.6	7.4	7h	36.5	38.1
3g	44.6	53.1	5a	0.0	0.0	6e	6.7	8.8	7i	32.3	38.9
3h	60.1	69.7	5b	10.2	3.3	6f	16.8	18.7	7j	37.8	39.6

注:^I在 B3LYP/6-311+G(d) 水平上零点能校正后的相对能量;^{II}在 CCSD(T)/6-311+G(d)//B3LYP/6-311+G(d) 水平上的相对能量.

2.1 几何结构和生长模式

BBe 和 B_2Be 团簇:如图1所示,BBe 团簇存在两个异构体,分别是直线型的 1a ($C_{\infty v}, ^2\Sigma$) 和 1b ($C_{\infty v}, ^4\Sigma$),两者的 B-Be 键长分别是 1.951 Å 和 1.701 Å. 异构体 1a 是 BBe 团簇的基态,可以看成是一个 Be 替代 B_2 团簇上的一个 B 得到^[15],这与文献报道相符^[5],它在 B3LYP/6-311+G(d) 和 CCSD(T)/6-311+G(d) 水平下的能量分别比 1b 低 6.1 kcal/mol 和 14.1 kcal/mol. 图1为 B_2Be 的4个异构体结构. 异构体 2a ($D_{2v}, ^1A_1$) 是 B_2Be 的最稳定结构,它具有三角形的结构,可以看成是 1 个 Be 原子连接在 B_2 团簇的 B-B

键上得到,也由一个 Be 原子替换 B_3 团簇上的一个 B 所构成^[15],形成的 B-Be 和 B-B 键的键长分别是 1.771 Å 和 1.526 Å. 异构体 2b($C_{2v}, ^3B_1$)的结构与 2a 相似,但是在 CCSD(T)/6-311+G(d)水平上的能量比 2a 的高 6.7 kcal/mol,而在 B3LYP/6-311+G(d)水平上,比 2a 低 4.2 kcal/mol. 异构体 2c($C_s, ^3A''$)和 2d($D_{\infty h}, ^3\Sigma_g$)都是直线型结构,不同的是 Be 原子位于直线结构的不同位置,它们的能量分别比 2a 高 17.3 kcal/mol 和 59.8 kcal/mol.

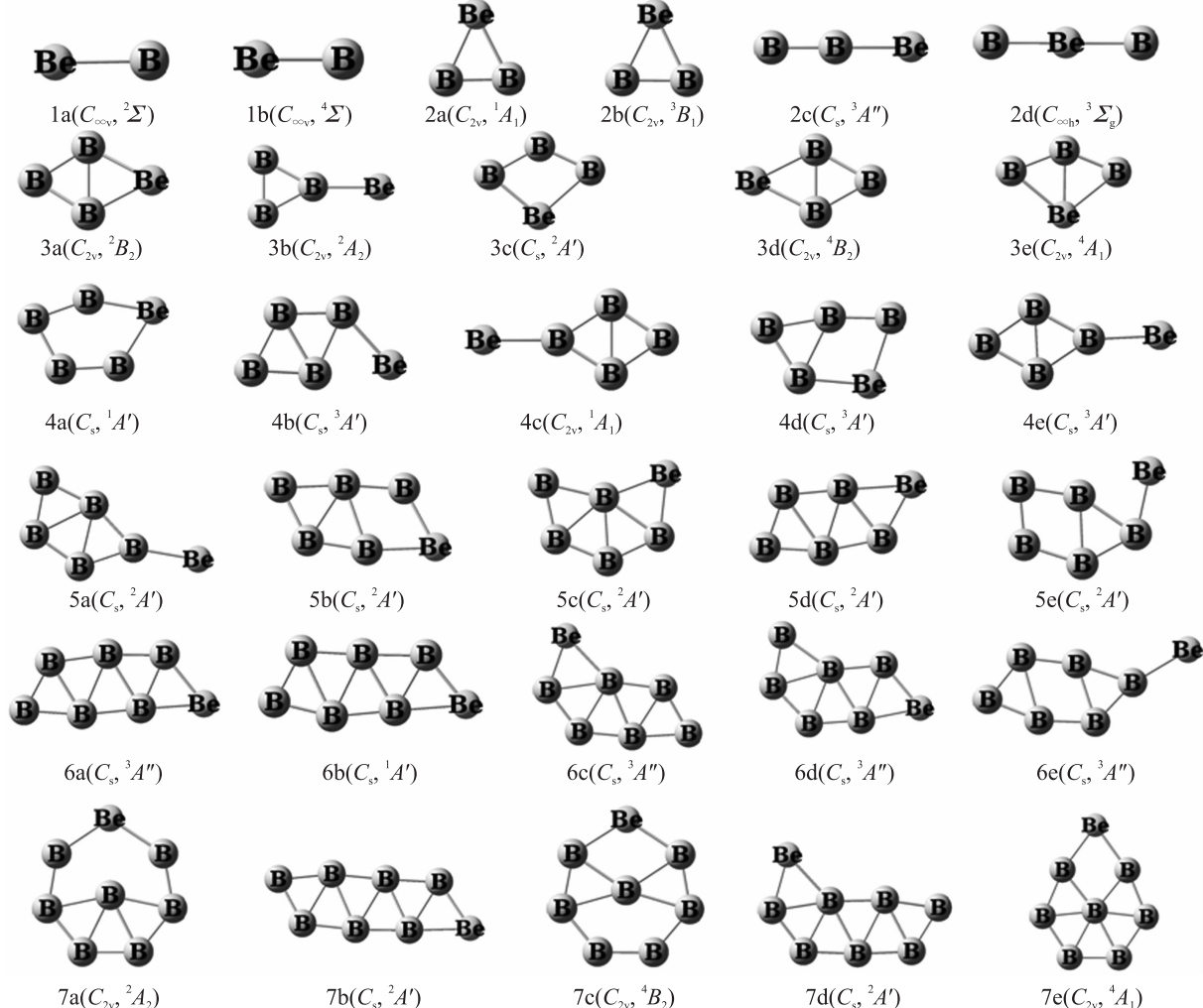


图 1 平面 B_nBe ($n=1 \sim 7$)团簇的较低能量结构图.(括号中分别为异构体的点群和电子态)

Fig. 1 Geometries of lower-energy isomers for planar B_nBe ($n=1 \sim 7$). (Point groups and electronic states are represented in parenthesis)

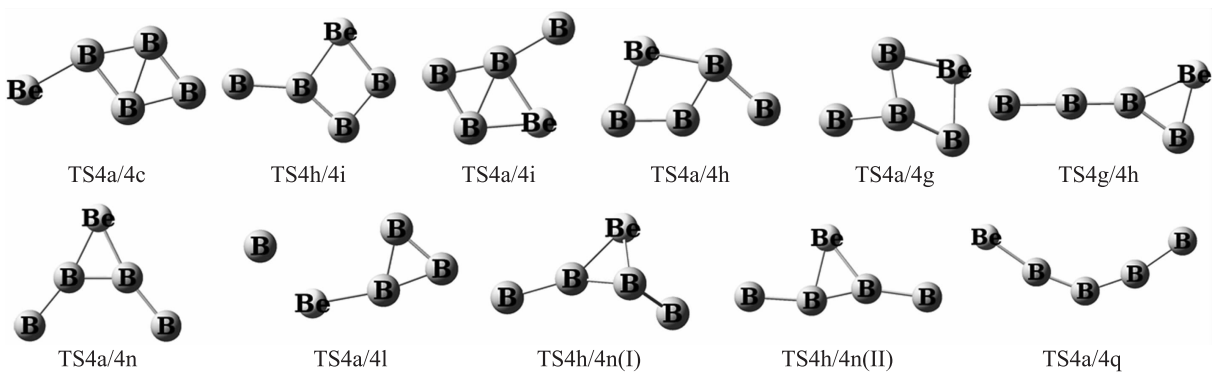


图 2 在 B3LYP/6-311+G(d) 水平下单重态 B_4Be 的过渡态优化后的结构

Fig. 2 Optimized structures of transition states for singlet state of B_4Be at the B3LYP/6-311+G(d) level

B₃Be 团簇: B₃Be 的前 5 个稳定的异构体—(3a ~ 3e) 如图 1 所示。B₃Be 团簇的最低能量结构 3a ($C_{2v}, ^2B_2$) 是一个多元环如菱形的结构, 可以看成是将 1 个 Be 原子连在 B₃ 团簇 1 条 B-B 键上形成的, 也可以将 B₄ 团簇上的 1 个 B 替换为 Be 构成^[15]。能量次稳定结构 3b ($C_{2v}, ^2A_1$) 是 1 个带有 Be 原子支链的 BBB 三元环结构。在 CCSD(T)/6-311+G(d) 水平上, 3b 的能量要比最稳定结构 3a 的能量高 8.6 kcal/mol。异构体 3c ($C_{2v}, ^2A'$) 是 1 个四元单环结构, 其中 Be 原子位于四元环结构较短对角线的一端, Be-B 和 B-B 键长分别为 1.742 Å 和 1.516 Å, B-Be-B 的键角是 98.2°。异构体 3c 的能量比 3a 高 17.3 kcal/mol。异构体 3d ($C_{2v}, ^4B_2$) 的结构与 3a 类似, 其能量要比 3a 高 26.5 kcal/mol。异构体 3e ($C_{2v}, ^4A_1$) 的能量与 3c 相似, 由于 B-Be 键长变短使之形成内部的 B-Be 键。异构体 3e 具有三配位 Be 原子。前 5 个结构中没有发现线型结构, 显然, 环状结构要比直线型结构更稳定。

B₄Be 团簇: B₄Be 团簇的前 5 个能量较低的异构体(4a ~ 4e) 显示在图 1 中。B₄Be 团簇的最稳定结构 4a ($C_s, ^1A'$) 是 1 个五元单环结构, 这可以被认为是 1 个铍原子连到 1 个平面 B₄ 团簇的 1 条边上, 其中内部键断裂, 其结构模式与 B₅ 团簇类似^[15]。异构体 4b ($C_s, ^3A'$) 的能量比 4a 高 22.9 kcal/mol, 其结构包含两个 BBB 三元环和 1 个 B-Be 支链。4c ($C_{2v}, ^1A_1$)、4e ($C_s, ^3A'$) 和 4d ($C_{2v}, ^1A_1$) 具有类似的结构, 都具有两个三元环和 1 条支链。总之, B₄Be 环状结构比线状结构在能量上更稳定, 更易形成多配位硼原子结构而不是多配位铍原子结构。

B₅Be 团簇: 至于 B₅Be 团簇, 在图 1 中显示了前 5 个能量较低的异构体(5a ~ 5e)。异构体 5a ($C_s, ^2A'$) 是 B₅Be 团簇中最稳定的异构体, 它的结构可以被认为 1 个 Be 连到 B₅ 的 1 个 B 上形成 1 条 Be 侧链。异构体 5b、5c、5d 和 5e 均可以由 B₅ 的不同键上连接 1 个 Be 杂原子得到, 也能被看成是在 4a 的不同键上连接 1 个 B 形成^[15]。其中, 5b 的能量在 B3LYP/6-311+G(d) 和 CCSD(T)/6-311+G(d) 水平上比 5a 高 10.2 kcal/mol 和 3.3 kcal/mol。在这些结构中, 5a ~ 5d 都含有 1 个五配位硼原子, 而多配位 Be 结构不存在, 故团簇中多配位 B 原子的存在使结构更稳定。含有支链的四元环状结构排在后面, 并且在前 5 个结构中没有发现存在直线结构, 这说明多环结构在能量上更稳定。

B₆Be 团簇: 如图 1 所示, B₆Be 的前 4 个异构体为结构相似的带状结构, 是由 Be 连在 B₅ 单元^[15]的不同键上形成。6a ($C_s, ^3A''$) 是 B₆Be 团簇的基态结构。在 CCSD(T)/6-311+G(d) 水平上, 异构体 6b ($C_s, ^1A'$) 的能量与 6a 很接近, 只比 6a 能量高 1.1 kcal/mol。6c 与 6d 的结构中都含有 1 个五配位的 B, 它们的能量比 6a 分别高 2.1 kcal/mol 和 7.4 kcal/mol。异构体 6e 的结构中含有 1 个 B₆ 多元环和连在环上 Be 支链, 它的能量比 6a 高 8.8 kcal/mol。B₆Be 团簇以多元环带状结构存在。

B₇Be 团簇: B₇Be 的最稳定结构为 1 个半轮式的七元环状结构, 如图 1, 它的中心是 1 个四配位硼原子。7a 与 B₈ 团簇的平面轮式结构相似, 不同的是由于外环掺杂了铍原子使其中心原子的配位数发生改变, 所以 7a 可以看成是在 B₈ 团簇外环上由 1 个 Be 替换 1 个 B 得到^[15]。次稳定结构 7b ($C_s, ^2A'$) 为带状结构, 它的能量在 CCSD(T)/6-311+G(d) 水平上比 7a 高 20.8 kcal/mol。7c 和 7e 的结构与 7a 结构类似, 不同的是中心 B 原子所形成的配位数以及所连外环原子不同。其中, 7e 为六配位硼原子, 它的能量在 CCSD(T)/6-311+G(d) 水平上比 7a 高 28.4 kcal/mol。7d 具与 7a 模式相似的 B₇ 结构单元, 它们的 Be 原子分别连在不同的 B-B 键上。

从图 1 和表 1 中可以看出, B_nBe 最稳定的结构 1a ~ 7a 显示出非常有趣的增长模式。其中 1a 为直线型结构, 随着 n 的增加, B_nBe (n=2 ~ 6) 的最低能量结构是平面的多元环结构, 而 B₇Be 的最稳定结构为半轮式结构。更有意思的是, B_nBe (n=1 ~ 7) 的几何结构与 B_n 团簇的结构类似, 具有相同的增长模式, 并且 Be 原子更有利于位于 B_n 团簇的表面而不是插入到 B_n 团簇的内部^[15]。这揭示出将 1 个铍原子掺杂到纯 B_n 团簇中不影响对应的硼团簇的原子重排。对于 B_nBe 团簇的最低能量结构的电子态, 当 n 为偶数时, 自旋多重度为 1 (B₆Be 为 3); 然而当 n 为奇数时, 自旋多重度为 2。平均原子成键能(BE)与 $N^{-1/3}$ (N=n+1) 的关系中, 2a ~ 7a 的点几乎处在 1 条直线上, 这显示出其环状的增长模式, 而 1a 为直线结构, 所以偏离该直线。

2.2 热力学稳定性和成键特征

团簇的相对稳定性^[16]能够通过平均原子成键能(BE)、成键能增量(IBE)、能量二次差分(Δ^2E)和最高占据轨道(HOMO)与最低空轨道(LUMO)能隙(ΔE)来考察。对于 B_nBe (n=1 ~ 7) 团簇, 由上面的 4 种

能量可以推断出异构体 4a 与 7a 比相邻团簇具有较高的稳定性。 B_nBe ($n=1 \sim 7$)团簇中最稳定结构的价分子轨道(VMO)表明,在这些团簇中存在相似的离域 π 分子轨道、 σ 正切分子轨道和 σ 径向分子轨道。从而, B_nBe ($n=1 \sim 7$)团簇的离域 π 分子轨道、 σ 正切分子轨道和 σ 径向分子轨道对最稳定结构稳定性起重要作用。

从异构体 2a、3a、4a 和 5a 的价轨道可以看出,它们都含两个离域 π 电子,符合休克尔 $4n+2$ 规则,所以 2a~5a 具有 π -芳香性。另外,在 GIAO-B3LYP/6-311+G(d)水平下计算了平面中心处及中心上方 1 Å 处的核独立化学位移(NICS)^[17]。发现它们的 NICS 与 NICS 在 zz 方向的分量($NICS_{zz}$)值均为负值,这也进一步说明 2a~5a 具有 π -芳香性。4a 除了具有 π -芳香性外,它的离域 σ 轨道上的两个离域 σ 电子使得 4a 具有 σ -芳香性。所以 4a 为 σ -和 π -双芳香性。

为了进一步分析闭壳层 4a 的双芳香性,我们进行了电子定域函数(ELF)^[18]和自适应自然密度分割(ADNDP)^[18]。总的 ELF 包括 ELF_σ 和 ELF_π 部分。计算得到,4a 的 ELF_σ 、 ELF_π 和 $ELF_{\text{平均}}$ 分别为 0.74、0.99 和 0.865。因此 4a 具有 σ -和 π -双芳香性。我们对 4a 的 ADNDP 分析表明,4a 的所有价电子可以分为 5 个 2c-2e σ 键(3 个 B-B 键和 2 个 B-Be 键)、1 个 5c-2e σ 键和 1 个 5c-2e π 键。因此,在 ADNDP 分析的基础上,不难发现 4a 具有 2 个离域 σ 电子和两个离域 π 电子,符合 $4n+2$ 规则,这与价分子轨道的分析相符。综上所述,通过价轨道、NICS、ELF 和 ADNDP 分析证明 4a 具有 σ -和 π -双芳香性。

2.3 异构化与动力学稳定性

如图 2 所示,在 B3LYP/6-311+G(d)水平上得到了 B_4Be 单重态异构体的 10 个过渡态的结构。过渡态的结构在此不做讨论。通常,一个异构体的稳定性是由最小能垒决定的。在 CCSD(T)/6-311+G(d)水平上 B_4Be 团簇单重态的势能面(见图 3)中异构体 4a 和 4g 的最小异构化能垒分别为 29.3 kcal/mol(4a→4c)和 18.5 kcal/mol(4g→4a),所以 4a 和 4g 具有动力学稳定性。而 4c、4h、4i、4l、4n 和 4q 在动力学上是不稳定的,因为它们的异构化能分别为 6.0(4c→4a)、4.1(4h→4i)、3.7(4i→4a)、8.8(4l→4a)、1.0(4n→4h)和 1.8(4q→4a) kcal/mol。能量最低结构 4a 由于具有较高的转化能垒,使其既具有热力学稳定性,也具有动力学稳定性。所以,4a 有望在今后实验中检测到。单环结构 4a 与直线型的结构 4q 可以通过 TS4a/4q 相互转换。但是由 4a 转变为 4q 要比由 4q 异构化为 4a 困难得多,因为它需要克服更多的能量。4n 和 4h 之间找到两个过渡态,而异构体 4m 在计算中没有找到相应的过渡态。

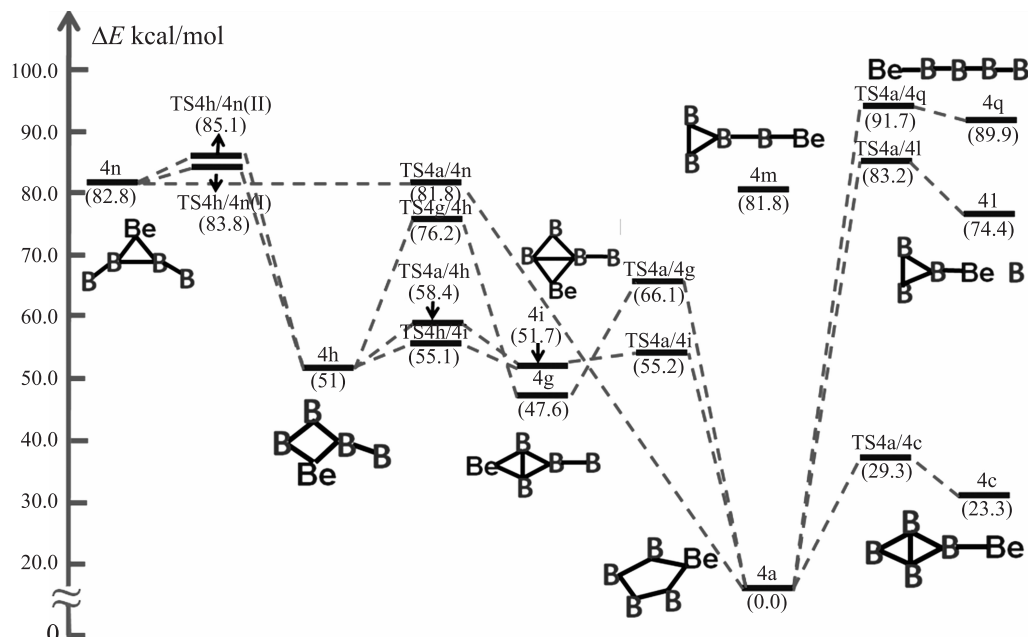


图 3 在 CCSD(T)/6-311+G(d)//B3LYP/6-311+G(d)水平上单重态 B_4Be 的势能面图

Fig. 3 Schematic potential-energy surface of singlet B_4Be at the CCSD(T)/6-311+G(d)//B3LYP/6-311+G(d) level

3 结论

对 B_nBe ($n=1 \sim 7$) 团簇的平面构型、稳定性、生长模式以及最低能量结构 4a 的势能面在 CCSD(T)/6-311+G(d)//B3LYP/6-311+G(d) 的水平下进行了系统的研究。目前工作的主要结论总结如下:(i)通过计算得到了 B_nBe ($n=1 \sim 7$) 的最低能量结构。成键能、成键能增量、能量二次差分的分析显示 4a 和 7a 的稳定性要比相邻的团簇更稳定。极化率证明 4a 具有特殊的稳定性;(ii) B_nBe ($n=1 \sim 7$) 团簇的最低能量结构(1a ~ 7a)显示出由直线到环状结构的增长模式,并且铍原子更利于位于 B_n 团簇的表面而不是位于其结构的内部;(iii)价分子轨道分析显示出离域 π -分子轨道、 σ -径向分子轨道和 σ -正切分子轨道 B_nN ($n=1 \sim 7$) 的稳定性上起到重要的作用。

[参考文献]

- [1] Raghavachari K, Rohlfing C M. Structures of Si_{10} . Are there conventionally bonded low-energy isomers? [J]. Chem Phys Lett, 1992, 198(5):521-525.
- [2] Zhu X L, Zeng X C. Structures and stabilities of small silicon clusters: ab initio molecular-orbital calculations of Si_7-Si_{11} [J]. J Chem Phys, 2003, 118(8):3 558-3 570.
- [3] Sands D E, Cline CF, Zalkin A, et al. The beryllium-boron system[J]. Acta Cryst, 1961, 14(3):309-310.
- [4] Imanishi N, Furuya T, Fujiwara I, et al. Chemical-bond dependence of Coulomb capture of pions in beryllium borides[J]. Physical Review A, 1985, 32(5):2 584-2 588.
- [5] Boldyrev A I, Gonzales N, Simons J. Periodicity and peculiarity in 120 first- and second-row diatomic molecules[J]. J Chem Phys, 1994, 98(6):9 931-9 942.
- [6] Güner O F, Lammertsma K. Structural and electronic properties of the tetraatomic B_2Be_2 cluster[J]. J Am Chem Soc, 1990, 112(2):508-516.
- [7] Niu J, Rao B K, Jena P. Atomic and electronic structures of neutral and charged boron and boron-rich clusters[J]. J Chem Phys, 1997, 107(1):132-140.
- [8] Li Q S, Jin Q. Theoretical study on the aromaticity of the pyramidal MB_6 ($M = Be, Mg, Ca, and Sr$) clusters[J]. J Phys Chem A, 2003, 107(39):7 869-7 873.
- [9] Li Q S, Jin Q. Aromaticity of planar B_5^- anion in the MB_5 ($M = Li, Na, K, Rb, and Cs$) and MB_5^+ ($M = Be, Mg, Ca, and Sr$) clusters[J]. J Phys Chem A, 2004, 108(5):855-860.
- [10] Feng P Z, Fa G M, Shu L Q. MB_8^{2-} , ($M = Be, Mg, Ca, Sr, and Ba$): planar octacoordinate alkaline earth metal atoms enclosed by boron rings[J]. Sci China Chem, 2010, 53(8):1 737-1 745.
- [11] Benhelal O, Laksari S, Chahed A, et al. Full-potential study of structural and electronic properties of MB_2 -type metal diborides ($M = Be, Mg$ and Ca) [J]. Computational Materials Science, 2011, 50(6):1 889-1 893.
- [12] Frisch M J, Trucks G W, Schlegel H B, et al. Gaussian 09, Revision A. 02 [M]. Wallingford: Gaussian Inc, 2009.
- [13] Lee C, Yang W, Parr R G. Development of the Colle-Salvetti correlation-energy formula into a functional of the electron density [J]. Phys Rev B, 1988, 37(2):785-789.
- [14] Pople J A, Head-Gordon M, Raghavachari K. Quadratic configuration interaction: a general technique for determining electron correlation energies[J]. J Chem Phys, 1987, 87(10):5 968-5 975.
- [15] Drummond M L, Meunier V, Sumpter B G. Structure and stability of small boron and boron oxide clusters[J]. J Phys Chem A, 2007, 111(28):6 539-6 551.
- [16] Raghavachari K, Binkley J S. Structure, stability, and fragmentation of small carbon clusters[J]. J Chem Phys, 1987, 87(4):2 191-2 197.
- [17] Schleyer P v R, Jiao H J, Hommes N J R v E, et al. An evaluation of the aromaticity of inorganic rings: refined evidence from magnetic properties[J]. J Am Chem Soc, 1997, 119(1):12 669-12 670.
- [18] Lu T, Chen F W. Multiwfns: a multifunctional wavefunction analyzer[J]. J Comput Chem, 2012, 33(5):580-592.

[责任编辑:顾晓天]